

شبیه سازی و تحلیل امنیت یک لینک ارتباطی بر اساس اختلال دوستانه

محسن شیخی لیسار

چکیده

از آنجایی که تعداد دستگاه های متصل و اهمیت ارتباطات سیار افزایش می یابد، باید تأکید بیشتری بر روی امنیت قرار داده شود. این گزارش کاربرد اختلال دوستانه را به عنوان یک تکنیک امنیت لایه فیزیکی مورد بررسی قرار می دهد که در آن از نویز ساختگی به منظور تضعیف کانال بین فرستنده و استراق سمع کننده استفاده می شود. به طوری که سیگنال اختلال ساختگی، تداخل غیرقابل پیش بینی را برای دستگاه های غیرمجاز ایجاد نموده، اما توسط دستگاه های مجاز به کلید مخفی قابل بازیابی است. به عبارتی دیگر، دستگاه مجاز می تواند سیگنال تداخل ایجاد شده را با استفاده از کلید مخفی به اشتراک گذاشته شده بازسازی و سپس حذف نماید.

به دلیل پشتیبانی سیستم های ارتباطی از چندین نوع مدولاسیون (به عنوان مثال پخش ویدیوی دیجیتال (DVB) که مجموعه ای از استانداردهای بین المللی آزاد برای تلویزیون دیجیتال است)، لذا شبیه سازی تکنیک مورد نظر با مدولاسیون های BPSK، QPSK، 16-QAM و 64-QAM برای گیرنده ی قانونی و استراق سمع کننده مورد ارزیابی قرار می گیرد. نتایج نشان داد که نرخ خطای به دست آمده با مدولاسیون های گوناگون با در نظر گرفتن کانال AWGN در لینک مورد نظر به ترتیب ۵۰ درصد، ۷۵ درصد، ۹۴ درصد و ۹۸ درصد برای استراق سمع کننده به دست می آید. همچنین تکنیک مورد نظر بر روی لینک 802.11a/g مورد بررسی قرار گرفت که نرخ خطای سمبل ۵۵ درصد برای استراق سمع کننده نیز به دست آمد.

واژگان کلیدی: اختلال دوستانه، استراق سمع کننده، دستگاه های غیرمجاز، نرخ خطای بیت

۱- مقدمه

ارتباطات بی سیم یکی از مهم ترین دستاوردهای بشر است زیرا انتقال اطلاعات به گره های دور دست را بدون نیاز به سیم فراهم می کند. انتقال رادیویی از راه دور توسط مارکونی در سال ۱۹۰۱ انجام شد. از آن زمان، بسیاری از مزایای ارتباطات بی سیم زندگی انسان ها را تسهیل کرده است. به طور جالب توجهی ماهیت بدون سیم ارتباطات بی سیم، استفاده از آن را در مقایسه با سیستم های سیمی که همیشه یک کابل در آن ها مورد نیاز است در حالی که طول کابل می تواند نگرانی اصلی باشد، بسیار راحت می کند. علاوه بر این، سیستم های بی سیم قادر به ارائه خدمات برای تعداد زیادی از کاربران هستند. همچنین، سیستم های ارتباطی بی سیم هزینه های نصب و نگهداری ارزان تری را در مقایسه با ارتباطات زمینی دارند که در آن نه تنها همه مسیرها باید سیمی شوند بلکه تغییر در برنامه کابل گذاری شامل هزینه های اضافی نیز می شود.

اختلال فرکانس رادیویی موجب تداخل عمدی می شود که ارتباطات بی سیم را بر روی لایه فیزیکی مختل می کند. بنابراین، اختلال به عنوان یک تهدید جدی برای شبکه های بی سیم مطرح می شود [1]، [2]، [3]. به طور معمول، اختلال می تواند همچنین به نفع ارتباطات بی سیم استفاده شود. از این رو به دو سناریوی کاربرد کلی معمولاً در ادبیات پرداخته می شود: (۱) اختلال به عنوان تداخل عمدی برای جلوگیری از دستیابی داده های نامعتبر به دستگاه های قانونی [4]، [5]، و (۲) اختلال به عنوان روشی برای جلوگیری از استراق سمع روی ارتباطات کاربر [6]، [7].

با توجه به ماهیت پخش رسانه بی سیم، شبکه های بی سیم بسیار در معرض چالش های امنیتی مثل حمله اختلال یا استراق سمع قرار دارند. اگرچه رمزنگاری را می توان برای محافظت از اطلاعات محرمانه یک بسته فریم داده استفاده کرد، اما برای جلوگیری نشت اطلاعات کانال جانبی از سرتیترهای رمزگذاری نشده کافی نیست. علاوه بر این، در بسیاری از استانداردهای بی سیم، فریم های مدیریت و کنترل اغلب به صورت آشکار ارسال می شود. عملیات مختلف دستورالعمل های بی سیم، مانند ایجاد کلیدهای نشست، به مبادله این فریم ها متکی هستند. همچنین، محدودیت های سخت افزاری مانند قابلیت محاسباتی پایین و توان محدود کاربران بی سیم باعث می شود رمزنگاری در برخی شبکه های بی سیم غیر عملی شود. از این رو تکنیک اختلال دوستانه پیشنهادی می تواند با ایجاد شبه نویز و جمع شدن آن در کانال با داده های اصلی، نرخ خطای بیت را برای استراق سمع کننده به شدت افزایش دهد. لذا از آنجایی که این شبه نویز ساختگی با گیرنده از طریق کلید به اشتراک گذاشته شده است، می توان با حذف آن نرخ خطای بیت را برای گیرنده مجاز کاهش داد.

بنابراین روی سناریوی کاربردی زیر تمرکز می کنیم. یک مهاجم به دنبال ارسال پیام های مخرب به دستگاه مجاز است. برای حفاظت از این دستگاه های مجاز، یک دستگاه خارجی به نام اختلال گر دوستانه را معرفی می کنیم. اختلال دوستانه وعده یک مکانیسم حفاظت ساده و مؤثر برای دستگاه های بی سیم را می دهد. در این کار، ابتدا تکنیک اختلال دوستانه را روی لینک مورد نظر برای مدولاسیون های BPSK، QPSK، 16-QAM و 64-QAM مورد ارزیابی قرار می دهیم سپس به عنوان بخشی از ارزیابی دنیای واقعی، اختلال دوستانه را برای ساده ترین پروتکل ارتباطی در نقاط دسترسی وای فای شبیه سازی می نماییم.

۲- کارهای مرتبط

یکی از حوزه های تحقیقاتی که به سرعت در حال توسعه است، استفاده از وسایل نقلیه هوایی بدون سرنشین به دلیل پتانسیل آن ها برای ارائه پوشش بی سیم با سرعت بالا به شبکه های ارتباطی زمینی است. قابل ذکر است که اکثر مقالات در مورد اختلال دوستانه بر استفاده از اختلال گرهای زمینی متمرکز شده اند. ژو، چن و همکاران [8] عملکرد محرمانه یک وسیله نقلیه هوایی بدون سرنشین که مجهز به یک اختلال گر هوا به زمین و یک شبکه ارتباطی زمینی متشکل از یک جفت فرستنده و گیرنده مجاز و یک استراق سمع کننده است را مورد بررسی قرار می دهند. نتایج شبیه سازی و تحلیلی نشان می دهد که یک اختلال گر وسیله نقلیه هوایی بدون سرنشین می تواند به طور قابل توجهی پوشش اختلال را در مقایسه با یک اختلال گر زمین بهبود بخشد.

لی و همکاران [9] از کدگذاری شبکه لایه فیزیکی و اختلال دوستانه برای بهبود امنیت لایه فیزیکی خود در ارتباطات مشارکتی دو پرش بی سیم استفاده می کنند، که شامل یک جفت منبع-مقصد با کمک چندین گره میانی در حضور یک استراق سمع کننده است. با ارسال سیگنال اختلال حامل پیام باینری تصادفی از اختلال گر انتخاب شده و استفاده از کدگذاری شبکه فیزیکی در گره رله انتخاب شده، این سیستم می تواند برای کانال مقصد-رله خوب عمل کند، در نتیجه نرخ محرمانگی بهتری به دست آید. بنابراین از سیگنال اختلال برای تضعیف کانال استراق سمع کننده در مرحله اول بدون تداخل در کانال قانونی استفاده می شود، و در مرحله دوم با استفاده از مزایای اختلال و مشخصه های کدگذاری شبکه فیزیکی، استراق سمع کننده را از بهره برداری از شبکه، می توان خارج کرد.

ژوران لی و هونگ نینگ [10] یک طرح ضد استراق سمع جدید را، با معرفی نوین ساختگی ناشی از اختلال گرهای دوستانه که در شبکه های بی سیم بکار گرفته شده اند، پیشنهاد می کنند. به طور خاص، یک مدل تحلیلی را برای تعیین خطر استراق سمع شبکه بی سیم با اختلال گرهای دوستانه پیشنهاد می کنند. در این رویکرد هم تلفات مسیر در مقیاس بزرگ و هم محوشدگی رایلی در نظر گرفته شده است. همچنین احتمال حمله استراق سمع را با طرح اختلال دوستانه و بدون این طرح مقایسه کرده و نتایج عددی به دست آمده نشان می دهد که خطر استراق سمع شبکه های بی سیم می تواند به طور قابل توجهی با کمک اختلال گرهای دوستانه کاهش یابد.

رادیو شناخت گر به طور گسترده به عنوان یک رویکرد دسترسی به طیف پویا شناخته می شود. یونس ساریکایا و همکاران [11] یک الگوریتم کنترل پویای بهینه طراحی کردند تا به طور مشترک تخصیص پهنای باند و توان را تعیین کند. در نتیجه کنترل جریان در یک شبکه رادیو شناخت گر با اختلال دوستانه تعیین شده است.

رویکرد اختلال دوستانه به دلیل مزیتی که دارد اخیراً بیشتر مورد توجه قرار گرفته و مقالات متعددی در این رابطه وجود دارد. اختلال مشارکتی رویکردی است که اخیراً به منظور بهبود امنیت لایه فیزیکی برای شبکه های بی سیم در حضور استراق سمع کننده پیشنهاد شده است. زمانی که منبع پیام خود را به مقصد ارسال می کند، یک گره رله یک سیگنال اختلال را برای ایجاد اختلال در استراق سمع کننده ارسال می کند. یانگ و همکاران [12] یک طرح اختلال مشارکتی گره دوگان تصادفی را پیشنهاد دادند، تا از

انتقال ایمن در یک کانال خط دیدمستقیم برای گره های توزیع شده آماری اطمینان حاصل شود. نتایج عددی نشان می دهد که این طرح از نظر احتمال قطع، بسیار بهتر از طرح مرسوم اختلال مشارکتی است. از نقطه نظر واقعیت، اختلال مشارکتی تصادفی هزینه سیستم کمتری برای همگامی دارد، و تمام کمک کننده ها تنها نیاز به دانستن بهره کانال خود دارند، هیچ اطلاعات سراسری دیگری نباید به اشتراک گذاشته شود.

۳- تکنیک اختلال دوستانه بر روی لینک موردنظر

در این بخش پس از اینکه یک لینک برای استراق سمع کننده و لینک دیگری برای گیرنده قانونی شبیه سازی شد، نویز ساختگی نیز اعمال می شود. نتایج نشان می دهد که با مدولاسیون BPSK برای هر دو گیرنده قانونی و استراق سمع کننده نرخ خطای ۵۰ درصد به دست می آید. از این رو شبیه سازی خود را تعمیم داده تا اختلال ساختگی را بتوان از گیرنده قانونی حذف نمود. بنابراین فیلتر وفقی پیشنهاد شد، زیرا از آنجایی که seed نویز ساختگی با گیرنده به اشتراک گذاشته شده است، می توان نویز ساختگی را در گیرنده بازسازی نموده و از سیگنال دریافتی تفریق شود. لذا حائز اهمیت است، قبل از اینکه نویز بازسازی شده از سیگنال دریافتی کم شود، تأخیر سیگنال دریافتی تخمین زده شود، زیرا در غیر این صورت همان نرخ خطای بیت ۵۰ درصد برای هر دو استراق سمع کننده و گیرنده قانونی به دست خواهد آمد. از این رو از همگام سازی سیگنال دریافتی با نویز ساختگی بازسازی شده در گیرنده استفاده می شود تا تأخیر سیگنال دریافتی به دست آید. سپس می توان نویز ساختگی را دقیقاً از همان جایی که به داده های اصلی اضافه شده است تفریق نمود. در پایان نیز نتایج شبیه سازی با مدولاسیون های BPSK، QPSK، 16-QAM، 64-QAM و در لینک 802.11a/g مورد ارزیابی قرار می گیرد.

۳-۱- پارامترهای شبیه سازی

پارامترهای شبیه سازی در شکل (۱) نشان داده شده است. شبیه سازی برای ۱۰۰ ثانیه با نرخ نمونه برداری ۰.۰۰۱ ثانیه انجام می شود. به عبارتی دیگر برای ۱۰۰ ثانیه زمان شبیه سازی، ۱۰۰۰۰۰ نمونه ارسال می شود. بنابراین نرخ خطای بیت برای هر دو گیرنده قانونی و استراق سمع کننده بر اساس این ۱۰۰،۰۰۰ نمونه بیان می شود. به عبارتی، با افزایش نرخ سیگنال به نویز در هر مرحله، یکبار شبیه سازی را اجرا نموده و نرخ خطای بیت بر حسب نرخ سیگنال به نویز محاسبه می شود. در پایان نقاط به دست آمده برای بازه های مطرح شده ترسیم می شود.



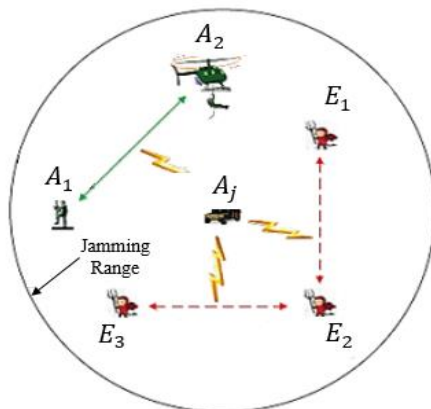
شکل (۱) پارامترهای شبیه سازی برای تکنیک موردنظر

۳-۲- فرضیات

- دستگاه های مجاز یک کلید مخفی به عنوان seed را به اشتراک می گذارند.
- زمان در دستگاه های مجاز همگام می باشد.
- آفست فرکانسی بین اختلال گر و دستگاه های مجاز در محدوده ی مشخصی می باشد.
- اختلال گر به آنتن همه جهتی مجهز شده است.

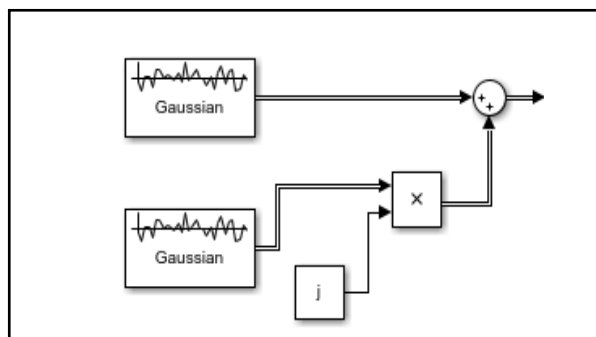
۳-۳- مدل پیشنهادی

شکل (۲) مدل پیشنهادی را نشان می دهد که به منظور سادگی فقط یک اختلال گر در آن وجود دارد. فرض بر این است که دستگاه های مجاز و غیرمجاز در یک ناحیه هستند. دستگاه های مجاز با A_1 ، A_2 و اختلال گر با A_j و دستگاه های غیرمجاز با E_1 ، E_2 ، E_3 نشان داده شده اند. دستگاه های مجاز و اختلال گر کلید مخفی k را به اشتراک می گذارند. اختلال گر A_j از نویز گوسی سفید و k به عنوان seed برای انتشار سیگنال X_j استفاده می نماید.



شکل (۲) مدل پیشنهادی

همان طور که در شکل (۳) ملاحظه می کنید، به دلیل مختلط بودن سمبل های لایه فیزیکی از دو نویز گوسی با Seed های متفاوت، جهت مختلط کردن سیگنال اختلال ساختگی استفاده می کنیم.

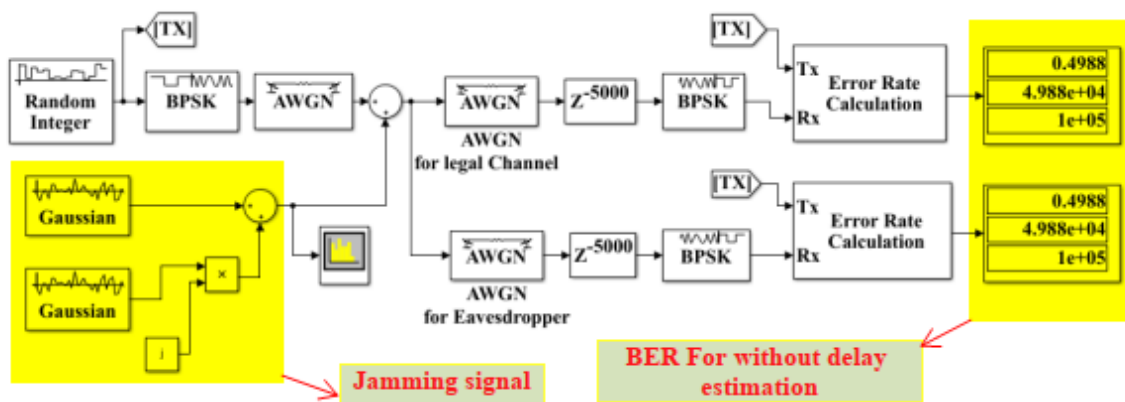


شکل (۳) سیگنال اختلال تولید شده

همچنین، اختلال گر مورد نظر از یک کلید مخفی منحصر به فرد به اشتراک گذاشته شده به عنوان Seed، به منظور تولید سیگنال اختلال دوستانه استفاده می نماید. از این رو، با تغییر Seed سیگنال اختلال مورد نظر، در هر بار می توان سیگنال اختلال شبه تصادفی جدید ایجاد کرد.

۳-۴- شبیه سازی لینک مورد نظر بعد از اعمال نویز ساختگی

همان طور که در شکل (۴) مشاهده می کنید بعد از اضافه کردن نویز ساختگی، نرخ خطای به دست آمده تقریباً ۵۰ درصد برای هر دو گیرنده قانونی و استراق سمع کننده به دست می آید. لذا نیاز است که نویز ساخته شده در گیرنده قانونی حذف شود. از این رو در مدل پیشنهادی فیلتر وقفی معرفی شده است. بنابراین قبل از استفاده از فیلتر وقفی، تأخیر سیگنال دریافتی باید تخمین زده شود.



شکل (۴) شبیه سازی لینک مورد نظر بعد از اعمال نویز ساختگی

۳-۵- همگام سازی سیگنال اختلال با سیگنال دریافتی و تخمین تأخیر

برای ایجاد هماهنگ سازی با اختلال گر، دستگاه مجاز می تواند از همبستگی برای پیدا کردن مکان نمونه های دریافتی $y_{i,k}, \dots, y_{i,l}$ در سنبلی هایی که به صورت محلی تولید شده اند استفاده نمایند. همبستگی یک رویکرد محبوب برای شناسایی الگوهای سیگنال شناخته شده در سمت گیرنده می باشد. فرض کنید طول همبستگی برابر با L باشد. دستگاه مجاز می تواند در ابتدا $y_{i,k}, \dots, y_{i,k+L-1}$ را با اولین L سیگنال در $r_{d,0}, r_{d,1}, \dots, r_{d,n-1}$ هم تراز نموده، همبستگی را محاسبه نماید، هم تراز را با یک نمونه شیفت داده و همبستگی را مجدداً تا زمانی که یک پیک در خروجی کرو لیتور شناسایی شود محاسبه نماید. به عنوان مثال فرض کنید همبستگی خروجی برابر با Γ می باشد:

$$\begin{aligned} \Gamma &= \sum_{n=0}^{L-1} y_{i,k+n} \cdot r_{i',k'+n}^* \\ &= \sum_{n=0}^{L-1} \left[h e^{j\gamma} e^{j2\pi \Delta f_g t_{i,k+n}} \cdot r_{i,k+n} + n_{i,k+n} \right] \cdot r_{i',k'+n}^* \end{aligned} \quad (1)$$

$r_{i',k'+n}^*$ یک سیگنال می باشد که در دنباله ی سیگنال اختلال تولیدی که به صورت محلی تولید شده است وجود دارد و $r_{i',k'+n}^*$ مزدوج مختلط آن می باشد. همان طور که $r_{i',k'+n}^*$ مستقل از نویز می باشد، $r_{i',k'+n}$ می تواند حذف شود. در صورتی که هم تراز صحیح پیدا شود، $i = i'$ و $k = k'$ خواهد شد و خواهیم داشت:

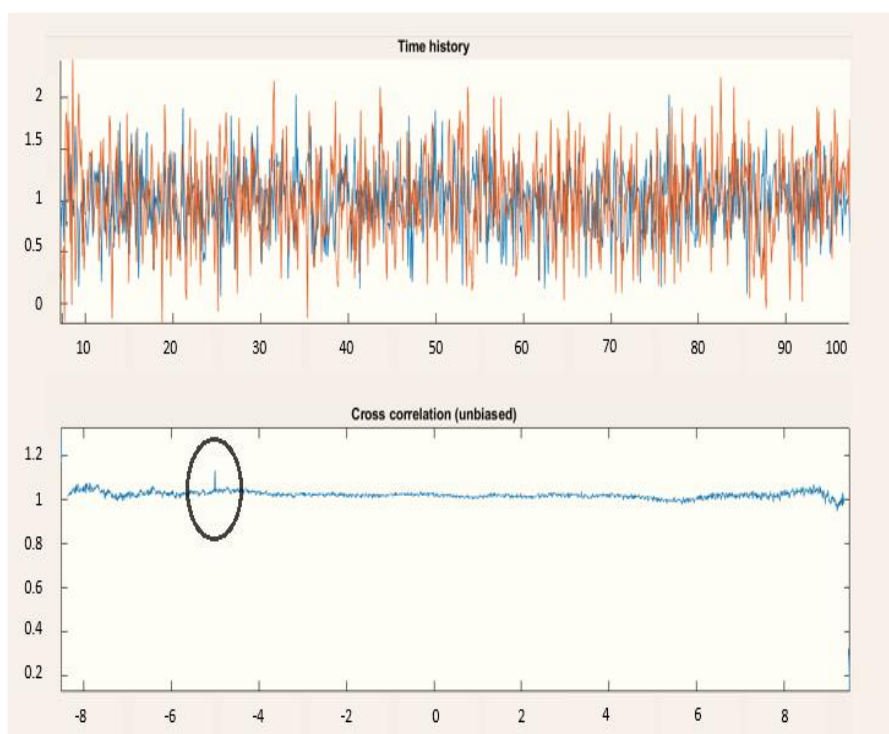
$$\Gamma \approx h e^{j\gamma} \sum_{n=0}^{L-1} |r_{i,k+n}|^2 e^{j2\pi \Delta f_g t_{i,k+n}} \quad (2)$$

بخش آفست فرکانسی $e^{j2\pi \Delta f_g t_{i,k+n}}$ فازهای پویا را برای اجزای منحصربه فرد در جمع فوق معرفی می نماید که ممکن است منجر به حذف سیگنال شود. بنابراین دستگاه مجاز باید آفست فرکانسی را قبل از اینکه همبستگی بتواند برای همگام سازی مورد استفاده قرار گیرد، جبران نماید. پس از جبران آفست فرکانسی خروجی همبستگی به صورت زیر نشان داده می شود.

$$\Gamma \approx he^{j\gamma} \sum_{n=0}^{L-1} |r_{i,k+n}|^2 e^{j2\pi\Delta f_g t_{i,k+n}} \cdot e^{-j2\pi\Delta f_g t_{i,k+n}} \quad (3)$$

$$\approx he^{j\gamma} \sum_{n=0}^{L-1} |r_{i,k+n}|^2$$

بنابراین همان طور که در شکل (۵) مشاهده می کنید، به عنوان مثال اگر سیگنال دریافتی ۵ ثانیه تأخیر داشته باشد خروجی همبستگی، تأخیر را بعد از کرویت کردن نویز بازسازی شده و سیگنال دریافتی نشان خواهد داد.



شکل (۵) همگام سازی سیگنال اختلال باز تولید شده با سیگنال دریافتی

۴- حذف نویز ساختگی در لینک قانونی با استفاده از فیلتر وفقی

وقتی مطالعه درباره ی فیلترهای وفقی آغاز می شود اهمیت زیادی دارد تا نگاهی دقیق تر به مفهوم دو کلمه اصلی فیلتر و وفقی شود. صفت وفقی درباره ی سیستم هایی بکار می رود که تلاش آن ها بر وفق دادن رفتار خود نسبت به محیطی است که در آن قرار دارند. به بیان دیگر سیستم هایی وفقی هستند که می کوشند تا با تغییر مقدار پارامترهای خود عملکردشان را به نحوی متناسب با محیط اطراف خود تنظیم کنند. در این فرایند سیستمی که پارامترهای آن دچار تغییرات شده است، فیلتر نام دارد. پایه و اساس

فیلترهای وفقی را می توان با فیلتر وینر مورد ارزیابی قرارداد که برای تولید یک تخمین از یک فرآیند تصادفی موردنظر مورد استفاده قرار می گیرد. فیلتر وینر میانگین خطای مربع بین فرآیند تصادفی تخمین زده شده و فرایند موردنظر را به حداقل می رساند. این نوع از فیلتر، به دلیل سختی محاسبه ماتریس معکوس خودهمبستگی قابلیت پیاده سازی نداشت لذا فیلترهای جدیدی بنام LMS به منظور سادگی بیشتر این مسئله پیشنهاد شد.

در فیلتر LMS، وزن های بهینه همان طور که در رابطه (۴) نشان داده می شود با یک وزن اولیه شروع شده و وزن های بعدی نیز با استفاده از وزن اولیه و گام μ محاسبه می شوند. از این رو به صورت لحظه ای وزن های بهینه بعد از محاسبه خطا در هر مرحله به دست می آید.

$$w[n+1] = w[n] + \mu u[n].e^*[n] \quad (4)$$

مسئله دیگر انتخاب گام بهینه است. از آنجایی که مقدار تغییر وزن، به تخمین گرادیان بستگی دارد، لذا هرچقدر گام انتخاب شده بزرگ تر باشد، آنگاه تخمین گرادیان با خطای بیشتری مواجه می شود. همچنین اگر زمان گام کوچک تر باشد، زمان همگرایی به وزن های بهینه طولانی می شود.

حداقل مربعات بازگشتی (RLS) یک الگوریتم فیلتر وفقی است که به صورت بازگشتی با در نظر گرفتن خطاهای قبلی، ضرایبی را می یابد که تابع هزینه حداقل مربعات خطی وزنی مربوط به سیگنال های ورودی را کمینه می کند. در مقایسه با اغلب رقبا، RLS همگرایی بسیار سریعی را نشان می دهد. با این حال، این مزیت با هزینه پیچیدگی محاسباتی بالا به دست می آید.

ایده فیلتر RLS به حداقل رساندن تابع هزینه C با انتخاب مناسب ضرایب فیلتر W_n ، به روزرسانی فیلتر به هنگام رسیدن داده های جدید است. سیگنال خطا با $e(n)$ و سیگنال موردنظر با $d(n)$ نمایش داده می شود.

از این رو، خطا نیز به تخمین $\hat{d}(n)$ بستگی دارد:

$$e(n) = d(n) - \hat{d}(n) \quad (5)$$

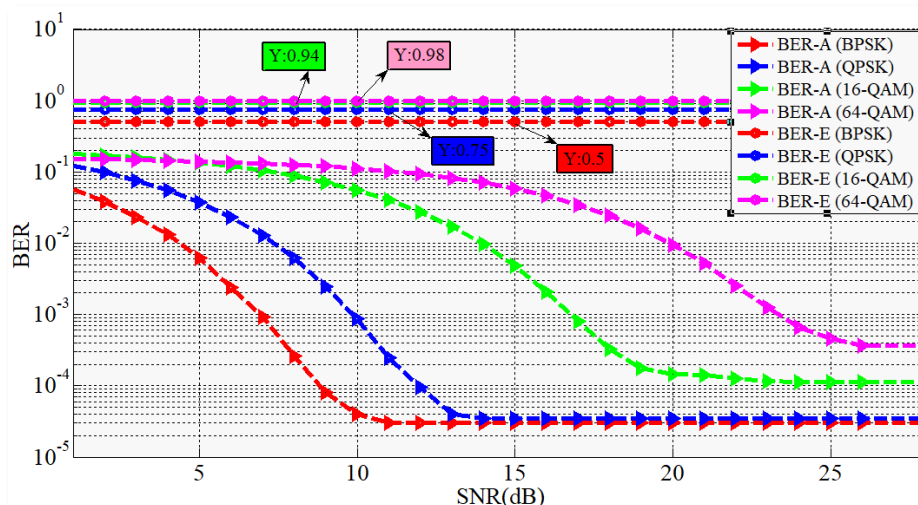
تابع خطای حداقل مربعات وزنی تابع هزینه C که ما می خواهیم به حداقل برسانیم تابعی از $e(n)$ است، از این رو به ضرایب فیلتر نیز بستگی دارد:

$$C(W_n) = \sum_{i=0}^n \lambda^{n-i} e^2(i) \quad (6)$$

که در آن $0 < \lambda \leq 1$ فاکتور فراموشی است که به صورت نمایی وزنی کم تر به نمونه های خطای قدیمی تر می دهد. بنابراین بعد از اضافه کردن فیلتر وفقی نرخ خطای به دست آمده برای گیرنده مجاز به شدت کاهش می یابد.

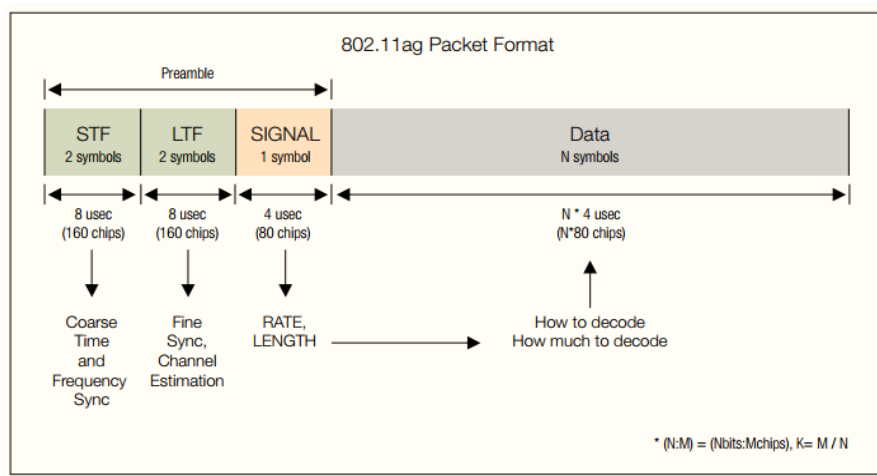
۵- نتایج شبیه سازی

همانطور که در شکل (۶) مشاهده می شود نرخ خطای بیت به دست آمده در استراق سمع کننده با مدولاسیون های BPSK، QPSK، 16-QAM و 64-QAM به ترتیب ۰.۵، ۰.۷۵، ۰.۹۴، ۰.۹۸ است. و در گیرنده قانونی نیز به طور خاصی این نرخ خطای بیت با افزایش نرخ سیگنال به نویز، کاهش می یابد.



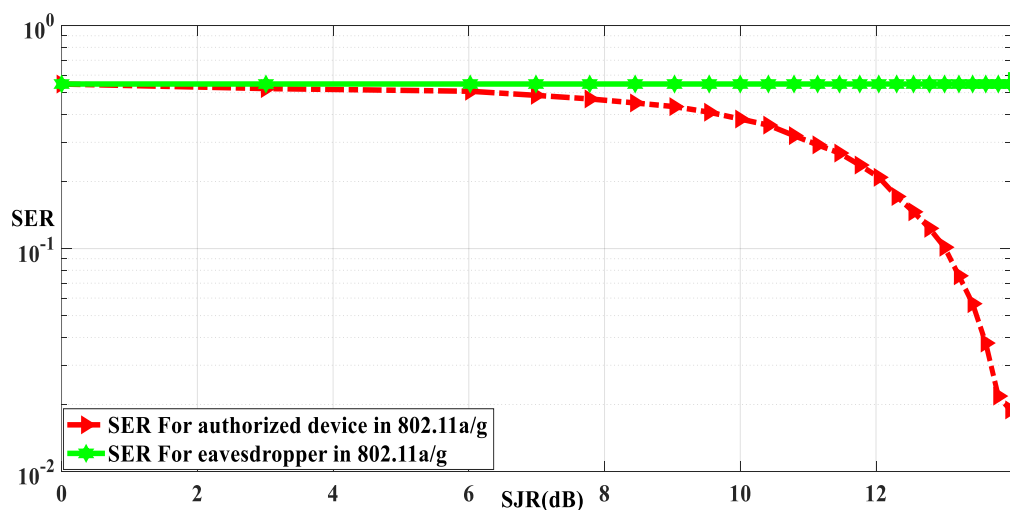
شکل (۶) نرخ خطای بیت برای دستگاه مجاز و استراق سمع کننده

شبیه سازی تکنیک اختلال دوستانه را همان طور که مشاهده کردید در سناریوهای مختلف مورد ارزیابی قرار دادیم. اکنون تکنیک مورد نظر را بر روی یکی از استانداردهای وای فای به عنوان مثال 802.11a/g اعمال می کنیم. ساختار لایه فیزیکی استاندارد 802.11a/g در شکل (۷) ارائه شده است. برای هر بسته در این استاندارد، ۵۳ سمبل ارسال می شود که ابتدا توسط مدولاسیون QPSK مدوله می شوند، سپس سمبل های مدولاسیون OFDM با اعمال ۱۱ سمبل گارد، ۱۶ دوره چرخشی، مجموعاً ۸۰ سمبل ساخته می شود.



شکل (۷) ساختار بسته استاندارد 802.11a/g

همانطور که در شکل (۸) مشاهده می کنید، با افزایش نرخ توان سیگنال به توان اختلال می توان به نرخ خطای سمبل کمینه ای در گیرنده مجاز دست یافت، درحالی که برای استراق سمع کننده نرخ خطای سمبل همواره بیشینه است.



شکل (۸) شبیه سازی نرخ خطای سمبل در 802.11a/g

۶- نتیجه گیری

اختلال به طور مرسوم به عنوان یک مخرب برای انتقال بی سیم در نظر گرفته شده است. با این حال، در ارتباطات امن، می تواند مفید واقع شود، و از آن برای امنیت داده های ارسالی استفاده کرد. در این گزارش، ما برای دستیابی به ارتباطات محرمانه در حضور یک استراق سمع کننده، طرح اختلال دوستانه را پیشنهاد کرده ایم. همان طور که مشاهده کردید نرخ خطای بیت به دست آمده در سناریوهای مختلف نشان داد که می توان امنیت یک لینک ارتباطی را بر اساس این تکنیک تضمین کرد. به عبارتی دیگر نرخ خطای بیت به دست آمده برای استراق سمع کننده همواره بیشینه بوده و نسخه ی مخدوشی از سیگنال ارسالی را می بیند. همچنین سناریوی موردنظر بر روی استاندارد 802.11a/g از وای فای به منظور بررسی و تحلیل تکنیک موردنظر بسط داده شد. نتایج نشان داد که در نرخ سیگنال به نویزهای بالا می توان به نرخ خطای سمبل کمینه ای در گیرنده مجاز دست یافت، درحالی که برای استراق سمع کننده نرخ خطای سمبل همواره بیشینه است.

فهرست

- [1] G. Lin and G. Noubir, "On link layer denial of service in data wireless LANs," *Wirel. Commun. Mob. Comput.*, vol. 5, no. 3, pp. 273–284, 2005.
- [2] A. Mpitzopoulos, D. Gavalas, C. Konstantopoulos, and G. Pantziou, "A survey on jamming attacks and countermeasures in WSNs," *IEEE Commun. Surv. Tutorials*, vol. 11, no. 4, pp. 42–56, 2009.
- [3] K. Pelechrinis, M. Iliofotou, and S. V Krishnamurthy, "Denial of service attacks in wireless networks: The case of jammers," *IEEE Commun. Surv. tutorials*, vol. 13, no. 2, pp. 245–257, 2010.
- [4] S. Gollakota, H. Hassanieh, B. Ransford, D. Katabi, and K. Fu, "They can hear your heartbeats: non-invasive security for implantable medical devices," in *Proceedings of the ACM SIGCOMM 2011 conference*, 2011, pp. 2–13.
- [5] Y. S. Kim and P. Tague, "Proximity-based wireless access control through considerate jamming," in *Proceedings of the ACM MobiCom workshop on Security and privacy in mobile environments*, 2014, pp. 19–24.
- [6] A. Sheikholeslami, D. Goeckel, H. Pishro-Nik, and D. Towsley, "Physical layer security from inter-session interference in large wireless networks," in *2012 Proceedings IEEE INFOCOM*, 2012, pp. 1179–1187.
- [7] J. P. Vilela, P. C. Pinto, and J. Barros, "Position-based jamming for enhanced wireless secrecy," *IEEE Trans. Inf. Forensics Secur.*, vol. 6, no. 3, pp. 616–627, 2011.
- [8] Y. Zhou, P. L. Yeoh, H. Chen, Y. Li, W. Hardjawana, and B. Vucetic, "Secrecy outage probability and jamming coverage of UAV-enabled friendly jammer," in *2017 11th International Conference on Signal Processing and Communication Systems (ICSPCS)*, 2017, pp. 1–6.



- [9] D. Li, S. Yan, X. Zhang, and Y. Shang, "Combined physical network coding and friendly jamming for secure wireless cooperative communications," *IEEE Veh. Technol. Conf.*, 2017.
- [10] X. Li and H. N. Dai, "Friendly-Jamming: An anti-eavesdropping scheme in wireless networks," *18th IEEE Int. Symp. A World Wireless, Mob. Multimed. Networks, WoWMoM 2017 - Conf.*, pp. 1–3, 2017.
- [11] Y. Sarikaya, O. Ercetin, and O. Gurbuz, "Control of Cognitive Networks with Friendly Jamming as a Service," *IEEE Trans. Cogn. Commun. Netw.*, vol. 4, no. 2, pp. 299–313, 2018.
- [12] B. Yang, W. Wang, J. Fan, and Q. Yin, "Friendly cooperation jamming for secrecy in LOS channel," *2012 Int. Conf. Wirel. Commun. Signal Process. WCSP 2012*, pp. 0–3, 2012.